

$Mg(Io_3)_2$ - $LiIo_3$ - HIO_3 质三元系的相关关系

梁敬魁 俞育德

(中国科学院物理研究所)

1981年2月18日收到

一、引言

碘酸盐晶体由于存在着未成键的电子对，通常不具有对称中心，因而在电光和非线性光学效应方面具有广泛应用的可能性。同时，大部分碘酸盐晶体的空间堆积系数较低，约为50%左右，这就为离子在晶体中运动提供了可能性。所以，碘酸盐晶体作为快离子电导材料也是十分值得探讨的。

我们在研究 $LiIo_3$ - HIO_3 质二元系时发现，这一系统存在着与 α - $LiIo_3$ 同晶型的化合物 $Li_2H(Io_3)_3$ ^[1]。其结构特点是：点阵常数 a 比 α - $LiIo_3$ 大； c 比 α - $LiIo_3$ 小； IO_3^- 根的键角比 α - $LiIo_3$ 大。 $Mg(Io_3)_2$ - $LiIo_3$ 体系是一新型的连续固溶体体系^[2]，晶体结构、空间群、畸变方向等随成分，也即随结构中的空位而变化。为探明 HIO_3 对 $Mg(Io_3)_2$ - $LiIo_3$ 体系的晶体结构、畸变度、稳定性以及性能的影响，本文用 X 射线衍射与热学分析等方法研究了 $Mg(Io_3)_2$ - $LiIo_3$ - HIO_3 质三元系的相关关系和晶体结构。

二、实验部分

1. 样品的制备

将 $Mg(Io_3)_2 \cdot 4H_2O$ 单晶体， α - $LiIo_3$ 单晶体和分析化学纯的 I_2O_5 分别溶于去离子水中，配制当量溶液，将各种不同配比成分的溶液，在烘箱中 70°C 烘干，烘干后所得的粉末研细混匀后，压成小饼，在 100°C 上下进行不同时间的恒温烧结，以合成试样。

2. 相组分分析与热学实验

用 Guinier 单色聚光相机进行相分析，加 $NaCl$ 或 Si 作内标进行点阵常数的测量。热学分析是在国产 CR-G 型微差热分析仪和日本岛津 DT-2A 热分析仪热天平上进行，以判断试样中 HIO_3 的分解温度。

三、结果与讨论

1. $Mg(Io_3)_2$ - HIO_3 系统

在不同热处理条件下所得的相组分见表 1。以 $Mg(Io_3)_2$ 为基的固溶体点阵常数随 HIO_3 成分的变化不显著。 $Mg(Io_3)_2 \cdot 4H_2O$ 与 HIO_3 的作用是明显的，随 HIO_3 含量的增加，

表 1 $H_xMg_{10-x}(Io_3)_{20-x}$ 不同热处理的相分布

成 分 x	热 处 理 条 件				
	100°C 1 天	100°C 5 天	100°C 10 天	120°C 5 天	
0	θ	θ	θ	θ	
1	$\alpha_1 + \theta$	$\alpha_1 + \theta$	$\alpha_1 + \theta$	α_1	
2	$\alpha_1 + \theta$	α_1	α_1	$\alpha_1 + \omega$	
3	α_1	$\alpha_1 + \omega$	$\alpha_1 + \omega$	$\alpha_1 + \omega$	
4	α_1	$\alpha_1 + \omega$	$\alpha_1 + \omega$	$\alpha_1 + \omega$	
5	$\alpha_1 + \omega$	$\alpha_1 + \omega$	$\alpha_1 + \omega$	$\alpha_1 + \omega$	
6	$\alpha_1 + \omega$	$\alpha_1 + \omega$	$\alpha_1 + \omega$	$\alpha_1 + \omega$	
7	$\alpha_1 + \omega$	$\alpha_1 + \omega$	$\alpha_1 + \omega$	$\alpha_1 + \omega$	
8	$\alpha_1 + \omega$	$\alpha_1 + \omega$	$\alpha_1 + \omega$	$\alpha_1 + \omega$	

α_1 —以 $Mg(Io_3)_2$ 为基的固溶体； θ — $Mg(Io_3)_2 \cdot 4H_2O$ ； ω — HIO_3 的分解产物，时而为 I_2O_5 或 HI_3O_8 ，时而为 I_2O_5 与 HI_3O_8 的两相混合，但不出现 HIO_3 的衍射线。

$Mg(Io_3)_2 \cdot 4H_2O$ 的脱水温度下降。同时，由于 $Mg(Io_3)_2$ 的存在也降低了 HIO_3 的分解温度。对于 $Mg(Io_3)_2$ 固溶体试样，热学分析也不同于

HIO_3 的分解过程。用 $5^\circ\text{C}/\text{min}$ 或 $10^\circ\text{C}/\text{min}$ 速度升温, 进行热失重实验, 结果表明, 在 $260\text{--}350^\circ\text{C}$ 范围, HIO_3 同时全部分解。在富 HIO_3 部分, 在 100°C 上下如进行长时间热处理, 可观察到 HIO_3 分解的产物 HI_3O_8 或 I_2O_5 相。从 X 射线衍射峰形情况来看, 含 HIO_3 的 $\text{Mg}(\text{IO}_3)_2$ 固溶体不同于 $\text{Mg}(\text{IO}_3)_2$ 。 $\text{Mg}(\text{IO}_3)_2$ 的结构特点是由于结构空位的存在, 沿 Z 轴稍有畸变, 由不均匀的点阵间隔 c 所组成, 这表现在 $(00l)$ 或 $l > h, k$ 的 (hkl) 衍射线加宽, 这种加宽现象由于 LiIO_3 的溶入更加严重^[2]。但当 HIO_3 与 $\text{Mg}(\text{IO}_3)_2$ 形成固溶体时, $(00l)$ 或 $l > h, k$ 的 (hkl) 衍射线变得明显尖锐, 而同时 (hkl) 衍射线变得模糊而加宽, 也就是说, HIO_3 的溶入使得 $\text{Mg}(\text{IO}_3)_2$ 固溶体沿 Z 轴点阵常数的不均匀性减小, 同时引起了 X-Y 平面的畸变。

HIO_3 的存在可以降低 $\text{Mg}(\text{IO}_3)_2 \cdot 4\text{H}_2\text{O}$ 的稳定性, 使 $\text{Mg}(\text{IO}_3)_2 \cdot 4\text{H}_2\text{O}$ 容易脱水, 因而在酸性水溶液中有可能生长出 $\text{Mg}(\text{IO}_3)_2$ 单晶体。 $\text{Mg}(\text{IO}_3)_2$ 与 LiIO_3 同晶型, $\text{Mg}(\text{IO}_3)_2$ 单晶体的获得对研究其电光和非线性光学性能, 以及离子电导类型和导电率的大小都是十分有意义的。

2. 含 10mol\% HIO_3 的 $\text{Mg}(\text{IO}_3)_2\text{-LiIO}_3$ 截面

这一体系每相隔 10mol\% LiIO_3 制备一试品, 共配制 10 个样品, 其成分分别为 $\text{H}_1\text{Mg}_{9-x}\text{Li}_x(\text{IO}_3)_{19-x}$

表 2 $\text{H}_1\text{Mg}_{9-x}\text{Li}_x(\text{IO}_3)_{19-x}$ 不同热处理的相分布

成份 x	热 处 理 条 件			
	100°C 1 天	100°C 5 天	100°C 10 天	120°C 5 天
0	$\alpha_1 + \theta$	$\alpha_1 + \theta$	$\alpha_1 + \theta$	α_1
1	$\alpha_1 + \theta$	$\alpha_1 + \theta$	$\alpha_1 + \theta$	α_1
2	$\alpha_1 + \theta$	$\alpha_1 + \theta$	α_1	α_1
3	$\alpha_1 + \theta$	α_1	α_1	α_1
4	$\alpha_1 + \theta$	α_1	α_1	α_1
5	$\alpha_1 + \alpha_2 + \theta$	$\alpha_1 + \alpha_2$	$\alpha_1 + \alpha_2$	$\alpha_1 + \alpha_2$
6	$\alpha_1 + \alpha_2 + \theta$	$\alpha_1 + \alpha_2$	$\alpha_1 + \alpha_2$	$\alpha_1 + \alpha_2$
7	$\alpha' + \alpha_2 + \theta$	$\alpha' + \alpha_2$	$\alpha' + \alpha_2$	$\alpha' + \alpha_2$
8	$\alpha' + \alpha_2$	$\alpha' + \alpha_2$	$\alpha' + \alpha_2$	$\alpha' + \alpha_2$
9	$\alpha + \alpha_2$	$\alpha + \alpha_2$	$\alpha + \alpha_2$	$\alpha + \alpha_2$

α_1 —以 $\text{Li}_2\text{H}(\text{IO}_3)_2$ 为基的固溶体; α' — $\text{Mg}_{\frac{x}{2}}\text{Li}_{1-x}\text{IO}_3$ 固溶体沿 X-Y 平面畸变; α —以 $\alpha\text{-LiIO}_3$ 为基的固溶体。

物理

$\text{H}_1\text{Mg}_{9-x}\text{Li}_x(\text{IO}_3)_{19-x}$ ($x = 0, 1, 2, \dots, 9$)。这一截面的相分布见表 2。

图 1 是含 10mol\% HIO_3 的 $\text{Mg}(\text{IO}_3)_2\text{-LiIO}_3$ 截面 $\alpha_1, \alpha', \alpha$ 与 α_2 相点阵常数随成分的变化。如同 $\text{Mg}(\text{IO}_3)_2\text{-LiIO}_3$ 质二元系^[2], 把 $\alpha_1, \alpha', \alpha$ 相看成是由于空位数量与分布的不同而引起畸变的连续过程, 其点阵常数随成分的变化与 $\text{Mg}(\text{IO}_3)_2\text{-LiIO}_3$ 系统 430°C 炼烧情况相似。随 LiIO_3 含量的增加, 点阵常数 c 开始时加大, 然后减小, 而 α 则先减小后增加。 α_2 相的点阵常数则基本上保持不变。对于同一成分, 热处理条件的不同, 点阵常数略有差异, 这可能是由于热处理条件不同, 晶体完整性的差异给点阵常数带来的影响。

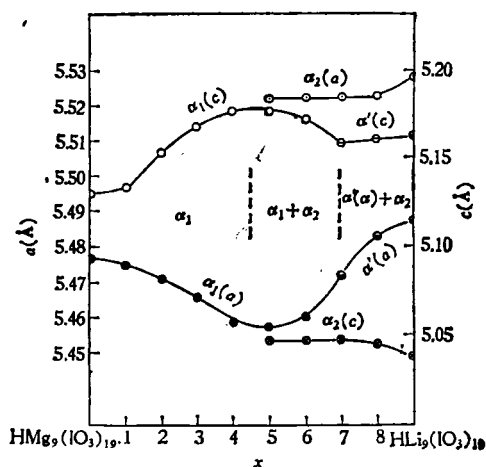


图 1 $\text{H}_1\text{Mg}_{9-x}\text{Li}_x(\text{IO}_3)_{19-x}$ 点阵常数 a 与 c 随成分的变化

从衍射线峰形的特征来看, LiIO_3 与 HIO_3 对 $\text{Mg}(\text{IO}_3)_2$ 为基的固溶体, 沿 Z 轴的点阵常数不均匀性起着相反的影响。随着 LiIO_3 含量的增加, 沿 Z 轴的点阵常数不均匀性明显增大, $(00l)$ 衍射线变得宽而弥散。对于以 $\text{Li}_2\text{H}(\text{IO}_3)_2$ 为基的 α_2 相, 随 $\text{Mg}(\text{IO}_3)_2$ 含量的增加, α_2 相晶体的整体性下降。含 10mol\% HIO_3 的截面, 沿 X-Y 平面畸变的 α' 相区比 $\text{Mg}(\text{IO}_3)_2\text{-LiIO}_3$ 二元系的 α' 相区小, 扩大了以 $\text{Mg}(\text{IO}_3)_2$ 为基的固溶体相区。

3. 含 30mol\% HIO_3 的 $\text{Mg}(\text{IO}_3)_2\text{-LiIO}_3$ 截面

这一截面每隔 10mol\% LiIO_3 配制一个试

品，其成分分别为 $H_3Mg_{7-x}Li_x(Io_3)_{17-x}$ ，这一截面的相分布见表 3。

表 3 $H_3Mg_{7-x}Li_x(Io_3)_{17-x}$ 不同热处理的相分布

成份 x	热 处 理 条 件		
	100°C 1天	100°C 5天	100°C 10天
0	$\alpha_1 + \theta$	α_1	$\alpha_1 + \omega$
1	α_1	α_1	$\alpha_1 + \omega$
2	α_1	$\alpha_1 + \alpha_2$	$\alpha_1 + \alpha_2 + \omega$
3	α_1	$\alpha_1 + \alpha_2$	$\alpha_1 + \alpha_2 + \omega$
4	α_1	$\alpha_1 + \alpha_2$	$\alpha_1 + \alpha_2 + \omega$
5	$\alpha_1 + \alpha_2$	$\alpha_1 + \alpha_2 + \omega$	$\alpha_2 + \alpha_1 + \omega$
6	$\alpha_2 + \alpha_1$	$\alpha_2 + \alpha_1 + \omega$	$\alpha_2 + \alpha_1 + \omega$
7	α_2	α_2	α_2

晶体的点阵常数随成分的变化见图 2。从图 2 可见，以 $Mg(Io_3)_2$ 为基的 α_1 相，或是以 $Li_2H(Io_3)_3$ 为基的 α_2 相，在单相区内它们的点阵常数 a 都随 $LiIO_3$ 含量增加而减小， c 增加。晶胞体积无论是 α_1 相，还是 α_2 相，当 HIO_3 含量恒定时，基本上不随成分而变。而 α_2 相随 HIO_3 含量的增加，晶胞体积稍略缩小。

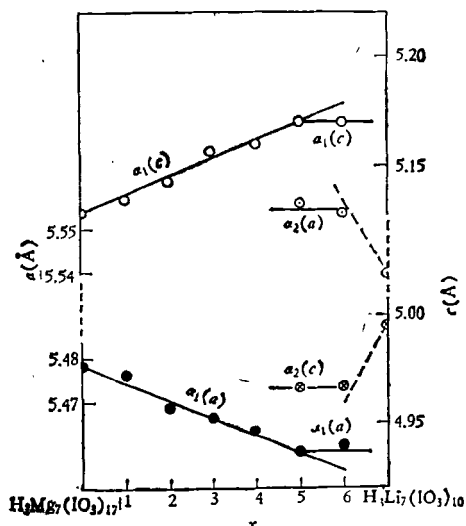


图 2 $H_3Mg_{7-x}Li_x(Io_3)_{17-x}$ 晶体的点阵常数
 $a - 5 c$ 随成分的变化

随着 HIO_3 含量的增加， $Mg(Io_3)_2-LiIO_3-HIO_3$ 热稳定性下降，含 30 mol% HIO_3 的试样，当温度超过 100°C，长时间热处理时， α_1 相就要分解，出现 HIO_3 分解的产物 I_2O 或 HI_3O_8 。但从晶体点阵常数随成分的变化情况来看，只

可能 $H_3Mg_2Li_5(Io_3)_{12}$ 与 $H_3MgLi_6(Io_3)_{11}$ 两成分为三相，它们的点阵常数不随成分而异。这一截面的其他成分应为单相或两相。

4. $Mg(Io_3)_2-LiIO_3-HIO_3$ 质三元系室温截面

试样在 100°C 上下长时间烧结合成，物相分析用 Guinier-de Wolff 单色聚焦相机，所得结果示于图 3。图 3 是 $Mg(Io_3)_2-LiIO_3-HIO_3$ 质三元系常温截面图。

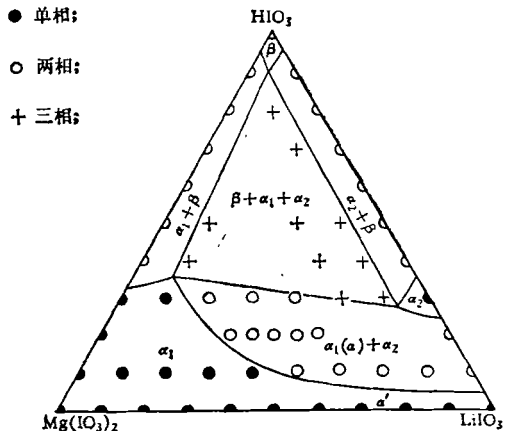


图 3 $Mg(Io_3)_2-LiIO_3-HIO_3$ 质三元系室温截面图
(β 为 HIO_3 的固溶体)

从图 3 可见：存在着十分宽广的，属于畸变型的固溶体区域，这一区域包括 α_1 、 α' 和 α 相。 α_1 相是以 $Mg(Io_3)_2$ 为基的固溶体，其空间群为 $P6_3$ ，沿 Z 轴由不均匀的点阵间隔所组成。 α' 相是沿 X-Y 方向发生畸变的固溶体，其空间群为 $P112_1$ 。 α 相是 α - $LiIO_3$ 为基的固溶体，空间群为 $P6_3$ ，基本上不发生畸变。这一相区晶体结构的畸变方向与程度取决于晶体的组分。一般而言，随着 HIO_3 含量的增加，沿 Z 轴的不均匀性减小，同时在 X-Y 平面发生畸变，这种现象在两相区内仍然保留着。 $LiIO_3$ 的溶入，对晶体结构畸变的影响，则起着与 HIO_3 相反的作用。

在 $Li_2H(Io_3)_3$ 周围存在着一固溶区，其空间群亦为 $P6_3$ ，但 IO_3^- 根的键角比 α - $LiIO_3$ 和 $Mg(Io_3)_2$ 大，点阵常数 a 比 α - $LiIO_3$ 和 $Mg(Io_3)_2$ 大， c 比它们小，同时，点阵常数随热处理条件，晶体完整性略有差异。

其他区域属于两相或三相。

由于这一体系的单相区存在着明显的畸变，晶体的完整性很低（包括多晶试样），因而生长完整的单晶体存在困难，作为电光和非线性光学材料应用的可能性难以探讨。但这一体系晶体结构的堆积系数低，同时，不同的组分存在着不同量的 H^+ , Li^+ , Mg^{+2} 和空位，特别是

以 $Li_2H(IO_3)_2$ 为基的固溶体；这对于研究导电类型，导电机制，导电率的大小与空位的作用都将会是有意义的。

参 考 文 献

- [1] 梁敬魁、俞育德，物理学报 29 (1980), 1293.
[2] 梁敬魁、张玉苓、刘宏斌，物理学报，29 (1980), 1023.

骤冷的 $LiKSO_4$ 多晶的核磁共振实验

郭全中 曹琪娟

(中国科学院物理研究所)

1981年6月17日收到

一、前 言

作者已报道过 $LiKSO_4$ 单晶在 190K 附近，其 ^{7}Li 核磁共振 (NMR) 谱出现了明显的变化^[1]，如图 1 所示。当时提出有两种可能，一是发生了相变，二是 ^{7}Li 核可能存在着两个不等价晶位。本文所述的骤冷实验可证实 NMR 谱的变化是由相变引起的。最近也陆续见到用热膨胀系数^[2] 和喇曼光谱^[3] 确定 $LiKSO_4$ 晶体在该温度附近有相变的报道。

二、实验和讨论

我们可以设想，如果低温下 ^{7}Li 的 NMR 谱确实反映了 $LiKSO_4$ 晶体中 ^{7}Li 核具有不等价性，而高温下由于只能得到其平均结果而呈现为一条谱线，则 NMR 谱线的形状应同样品的冷却速度无关，而仅仅由样品所处的温度来确定。如果 $LiKSO_4$ 晶体确实在低温下发生了相变，那么，这个相变就可能同样品冷却过程相关。为此，我们可通过改变冷却速度来确定 $LiKSO_4$ 晶体在低温下的性质。

实验是在 SXP4-100 型脉冲傅里叶变换核磁共振谱仪上进行的。实验参数参阅文献[1]。

由于单晶承受不了快速冷却，改用 $LiKSO_4$

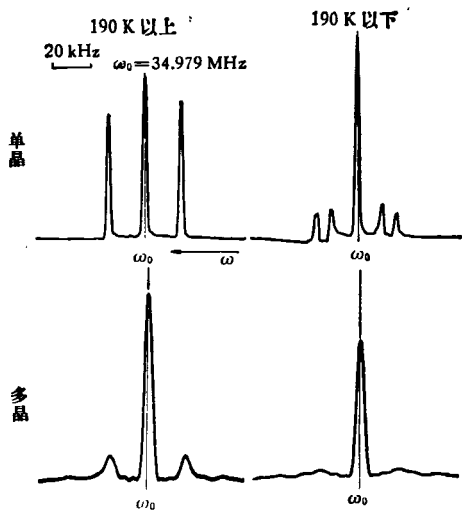


图 1 $LiKSO_4$ 晶体 NMR 谱

多晶粉末做骤冷实验。冷却速度约为 200K/min，温度降至 141K 时测得的 NMR 谱示于图 2(a) 中。样品在 141K 温度下持续了 40 多分钟，前后共采样四次，NMR 谱形无差异。同时，用约 2K/min 的速度缓慢冷却至 150K，得到的 NMR 谱如图 2(c) 所示。图 2(b) 是室温下的 NMR 谱。由图可见，图 2(a) 基本上保持了图 2(b) 的谱形特征，只是边峰高度降低、变宽。而图 2(c) 与图 2(b) 明显不一样，其边峰大大增宽以致失去了室温 NMR 谱的基本特征。

$LiKSO_4$ 单晶及多晶，在缓慢冷却时测得的 ^{7}Li NMR 谱示于图 1 中。单晶的谱形可分为